

# Al-MIS (p-Si) 太陽電池의 AR Coating 方法

(On the AR Coating Method of Al-MIS (p-Si) Solar Cell)

嚴 慶 淑\*, 白 壽 鉉\*\*

(Kyung Sook Aum, Su Hyon Paek)

## 要 約

Al-MIS (p-Si) 태양전지의 최대 효율은 Al 박막을  $0.6\text{ \AA/sec}$  이하의 속도로 증착시켜  $80\text{ \AA}$ 인 두께가 되었을 때임을 알았다.

ZnS와 SiO로 AR coating을 했는데, 単層被膜일때는 각각  $570\text{ \AA}$ 과  $690\text{ \AA}$ 인 박막 두께에서 最大  $I_{sc}$ 를 나타냈다. 이는 quarter-coating 조건인  $n_1 d_1 = \lambda/4$ 를 만족함을 알았다. 二重層被膜일 때는 한 層을 単層被膜때의 最適 두께를 유지하면서 다른 한 層을 조절했다. 이때의 최대  $I_{sc}$ 는 単層被膜일 때와 비슷한 값이었으나 넓은 범위의 두께에서 그 값이 그대로 유지되었다.

한편  $d_{ZnS}/d_{SiO} = 1.9/2.3 = 570/690$ 인 관계를 유지하면서 總 두께를 각각의 単層被膜때의 最適 두께 之에 대해서 70~90%로 얇게 했을 때 앞에서 논의한 어떤 경우보다도 20% 이상의 더 높은  $I_{sc}$ 를 얻을 수 있었다. 따라서 높은 효율을 얻으면서 정밀한 두께 조절이 不必要한 새로운 AR coating 方法을 얻었다.

## Abstract

We found that the maximum efficiency of Al-MIS (p-Si) solar cell was shown at  $80\text{ \AA}$  thickness of Al-film which was deposited with slower velocity than  $0.6\text{ \AA/sec}$ .

It was coated with ZnS and SiO for Anti-Reflecting. In single coating, ZnS and SiO film had maximum  $I_{sc}$  at  $570$  and  $690\text{ \AA}$  thickness, respectively. We confirmed that these results agreed well with the quarter coating condition;  $n_1 d_1 = \lambda/4$ . In double coating, we held the one layer with its optimum thickness in single coating and controlled the other layer. The maximum value of  $I_{sc}$  in this case was almost the same with it in single coating but was maintained its value in so wide range of thickness.

Keeping the relation;  $n_1 d_1 = n_2 d_2$  as another way, we made the total thickness of film thinner to 70-90% of the sum of each optimum thickness in single coating. In this case  $I_{sc}$  was higher value than 20% of it in any other previous case and was retained so wide range of thickness.

## I. 序 論

太陽電池의 効率을 높이기 위하여  $I_{sc}$  (short circuit current),  $V_{oc}$  (open circuit voltage) 또는 F. F. (fill factor)을 증가 시킨다. 최근에 와서 MIS 태양電池에

AR coating을 하여 그 효율을 15% 이상까지 올리고 있다.<sup>1~4)</sup> 太陽電池의 等價回路에 依하면  $I_{sc}$ 는 表面反射와 直列抵抗에,  $V_{oc}$ 는 절연층과 포텐셜 장벽을 만드는 金屬의 種類 및 並列抵抗에, 그리고 F. F.는 直列抵抗과 並列抵抗에 依해 각각 영향을 받는다. 이를 抵抗은 金屬박막의 증착속도와 금속의 종류에 따른다. 表面反射가 많으면 入射光의 強度가 弱하여  $I_{sc}$ 가 감소하므로 AR coating을 하여 그 反射에 依한 손실을 最小로 할 수 있다. 그러나 AR coating에 관해서는 被膜의 두께

\*準會員, \*\*正會員, 漢陽大學校 工科大學 材料工學科  
(Dept. of Materials Eng., Han Yang Univ.)

接受日字 : 1984年 8月 14日

조절이 정밀하여야 하므로 기술적인 면에서 많은 문제가 있다. 따라서 光學的인 反射法則으로 計算된 最適 두께에 가깝도록 적당히 조절 할 수 밖에 없다.<sup>[5,6]</sup> 被膜두께에 따른 反射현상은 조사된 바가 있으나 MIS 太陽電池에서의 最適인 被膜두께가 결정된 바는 없다.<sup>[7]</sup>

本研究에서는 Al-MIS 太陽電池에서 最適 두께의 금속박막을 증착시킨 후 그 위에 AR coating을 單層과 二重層으로 하여 그 層의 두께와  $I_{sc}$  간의 관계를 찾고 그것을 分析하여 AR coating方法을 개선하고자 한다.

## II. 理論的 考察

AR coating은 最大의 光透過率을 가진 材料와 最適의 被膜 두께를 결정해야 된다. AR coating材料와 그 굴절율을 표 1에 수록했다.<sup>[4,8]</sup>

표 1. AR-Coating 물질의 굴절율 ; n  
Table 1. "n" of AR-coating materials.

| Material         | n    | Material                       | n    |
|------------------|------|--------------------------------|------|
| ZnS              | 2.3  | Ta <sub>2</sub> O <sub>5</sub> | 2.25 |
| TiO <sub>2</sub> | 2.25 | SnO <sub>2</sub>               | 2.0  |
| SiO              | 1.9  | Al <sub>2</sub> O <sub>3</sub> | 1.9  |
| SiO <sub>2</sub> | 1.5  | MgF <sub>2</sub>               | 1.4  |

單層 被膜表面에 빛이 수직으로 입사할 때 被膜의 光吸收를 무시하고 그림 1에 표시한 각面의 반사계수  $r$ 와 굴절율  $n$ 을 써서 반사계수가 0이 되게 하면 식(1)과 같이 표시 된다.<sup>[9,10]</sup>

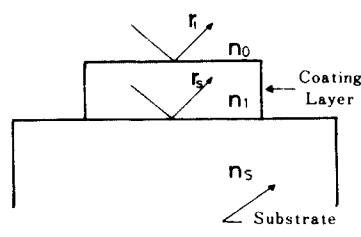


그림 1. 단층 피막에 대한 r과 n의 표기  
Fig. 1. Notation of r and n for single coating.

$$\left\{ \begin{array}{l} \psi_1 = (2m-1)\pi/2 \\ n_1^2 = n_0 n_s \end{array} \right. \quad (1)$$

여기서  $\psi_1 = 2\pi n_1 d_1 / \lambda$ 로서 phase thickness라 하고  $m$ 은 整數이며  $\lambda$ 는 入射光의 波長이다.  $m=1$  일때  $\psi_1 = \pi/2$  가 되고 따라서  $n_1 d_1 = \lambda/4$  가 된다. 이것을 quar-

ter coating이라 한다.  $n_1^2 = n_0 n_s$ 가 아니면 반사율이 크다는 것을 그림 2에서 알 수 있다. 그러나 실제로 그런 조건을 정확하게 만족시키는 물질을 찾을 수 없으며 그 조건을 조금만 벗어나도 반사율은 크게 증가한다.

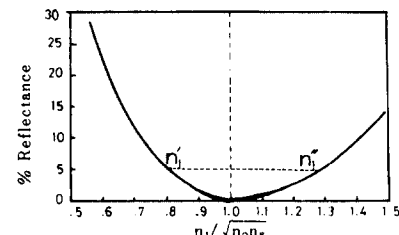


그림 2.  $\frac{1}{4}\lambda$  박막의  $n_1/\sqrt{n_0 n_s}$ 에 대한 반사율  
Fig. 2. Reflectance as a function of  $n_1/\sqrt{n_0 n_s}$  of a quarter wavelength thick film.

二重層 被膜인 경우를 생각하여 그림 3에서와 같은 기호를 쓰고  $\psi_1$ 과  $\psi_2$ 를 각각 外部被膜과 内部被膜의 phase thickness로 표시할 때 반사율이 0가 되는 조건은 두 가지가 있다. 그러나 두 層의 phase thickness가 같을 때 가장 효과적인 것으로 알려져 있다.<sup>[11]</sup>

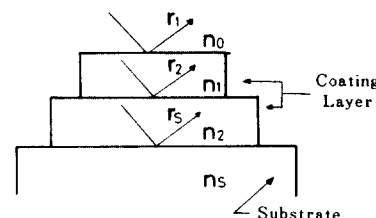


그림 3. 二重層 피막에 대한 r과 n의 표기  
Fig. 3. Notation of r and n for double coating.

첫번째 경우는

$$\left\{ \begin{array}{l} n_1^2 n_s = n_2^2 n_0 \\ \psi = \psi_1 = \psi_2 = (2m-1)\pi/2, m=1, 2, 3, \dots \end{array} \right. \quad (2)$$

일때 이고  $m=1$  이면  $n_1 d_1 = n_2 d_2 = \lambda/4$  가 되어 이것을 quarter-quarter coating이라 한다. 이 경우와 單層 被膜인 경우를 그림 4에서 과장에 따르는 반사율을 비교했다.  $n_1^2 n_s = n_2^2 n_0$  조건을 만족시키지 않을 때도 반사율이 0은 아니나 최소의 값이 되는 과장 범위가 넓다.

두 번째 경우에는

$$\left\{ \begin{array}{l} n_1 n_2 = n_0 n_s \\ \cos 2\psi = [(n_2 - n_1)(n_0^2 + n_1^2)] / [(n_0 + n_1)(n_0^2 - n_1^2)] \end{array} \right. \quad (3)$$

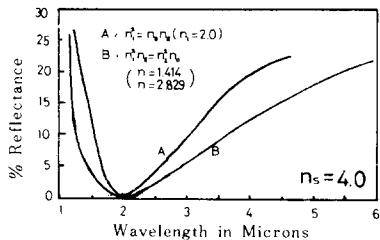


그림 4.  $\frac{1}{4}$  페마파  $\frac{1}{4}$  페마파의 광장에 대한 반사율

Fig. 4. Reflectance as a function of wavelength in quarter coating & quarter-quarter coating.

일때 0 반사율이 되고 첫번째 경우보다 더 넓은 범위에 걸쳐 작은 반사율을 보인다(그림5). 그러나 실제로 이를 조건을 정확히 만족시키는 재료를 찾는 것은 거의 불가능하다. 그래서 이를 두 경우의 혼합형을 생각하여 세번째 경우를 다음과 같이 만든다.

$$d_2/d_1 = n_1/n_2 \quad (4)$$

를 유지하면서 그重層被膜의 전체 두께를 조절하면 그림5에서처럼 더 효과적인 경우가 된다.

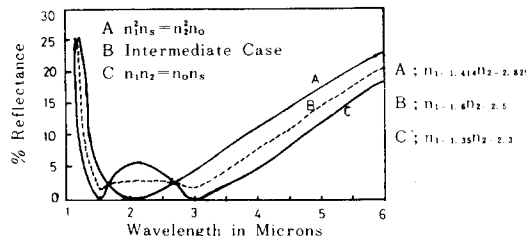


그림 5.  $\frac{1}{4}$  페마파의 광장에 대한 반사율

Fig. 5. Reflectance as a function of wavelength of quarter-quarter coating.

### III 實 驗

#### 1. MIS 太陽電池의 製作

(100)面을 表面으로 하는 Boron-doped p-型 Si 단결정 wafer를 1cm × 1cm 크기로 잘라 표준 세척법에 따라 세척하고<sup>[2,12,13]</sup> 표면의 酸化膜을 除去하기 위하여 10%HF 용액에서 1분동안 etching하였다. MIS製作에서 모든 박막 형성은 진공증착법을 이용했다.

Varian 3118 진공증착기의 IC 6000 computer system과 crystal sensor로 두께 조절을  $\pm 5\text{A}$ 의 오차범위에서 정밀하게 하였다.

電流측정을 위하여 Si wafer 뒷면에 Al을  $0.1\mu\text{m}$  이

상으로 증착시켜 이것을  $450^\circ\text{C}$ 로 20분동안 질소기체 분위기에서 열처리하여 ohmic 접촉을 종계함과 동시에 이때 表面에  $20\text{\AA}$  정도의  $\text{SiO}_2$  산화물층을 형성시켜 절연층으로 이용하였다.<sup>[14,15]</sup> p-型 Si에는 일함수가 작은 금속인 Al을 barrier metal로 쓴다.<sup>[8]</sup> 먼저 시편의 表面에  $0.5\text{\AA/sec}$ 의 증착속도로 最適 두께인  $90\text{\AA}$ 을 증착시키고 그 위에 박막저항을 줄이기 위하여 손가락 모양의 Al-foil mask를 만들어서 Al을  $0.1\mu\text{m}$  이상으로 두껍게 증착시켰다(그림6). 完成된 MIS 太陽電池에 銀線과 金線을 indium으로 빙집하여 電極을 만들었다.

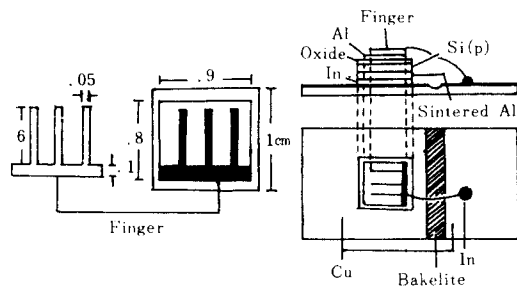


그림 6. 태양전지의 구조

Fig. 6. Structure of solar cell.

#### 2. AR Coating

AR coating 物質로는 그純度가 4N인 ZnS ( $n=2.3$ )와  $\text{SiO}$  ( $n=1.9$ )의 粉末을 擇하였다.

##### 1) 單層被膜

ZnS 粉末을 Mo-boat에 넣어  $5 \times 10^{-7}$  torr에서  $0.5\text{\AA/sec}$ 의 속도로 被膜 두께를  $400\text{\AA} \sim 800\text{\AA}$  까지  $50\text{\AA}$  간격으로 9種類의 試片을 만들었다. 또  $\text{SiO}$  粉末을 Ta-boat에 넣어  $5 \times 10^{-7}$  torr에서  $0.4\text{\AA/sec}$ 의 속도

표 2. 二重層 被膜에서 ZnS와  $\text{SiO}$ 의 두께

Table 2. Thickness of ZnS &  $\text{SiO}$  in double AR-coating.

| CASE I          |           |     | CASE II         |           |      | CASE III        |           |      |
|-----------------|-----------|-----|-----------------|-----------|------|-----------------|-----------|------|
| No. of Specimen | Thickness |     | No. of Specimen | Thickness |      | No. of Specimen | Thickness |      |
|                 | ZnS       | SiO |                 | ZnS       | SiO  |                 | ZnS       | SiO  |
| 1               | 300       | 690 | 11              | 570       | 330  | 21              | 270       | 330  |
| 2               | 400       | 690 | 12              | 570       | 500  | 22              | 410       | 500  |
| 3               | 500       | 690 | 13              | 570       | 600  | 23              | 500       | 600  |
| 4               | 600       | 690 | 14              | 570       | 690  | 24              | 570       | 690  |
| 5               | 700       | 690 | 15              | 570       | 770  | 25              | 660       | 800  |
| 6               | 900       | 690 | 16              | 570       | 1000 | 26              | 830       | 1000 |

로 被膜두께를  $500\text{ \AA}$  ~  $800\text{ \AA}$  까지  $100\text{ \AA}$  간격으로 4種類의 試片을 만들었다.

## 2) 二重層 被膜

처음에 ZnS의 두께를 변화시키면서 그 위에 SiO를 그 單層被膜에서 最適두께인  $690\text{ \AA}$  으로 一定하게 증착시켰다. 두번째로 ZnS를 그 單層被膜에서 最適두께인  $570\text{ \AA}$  으로 고정시키고 SiO를 그 위에 여러가지 두께로 증착시켰다. 마지막 세번째 경우로 이들 두材料의 最適두께比를 유지하면서 ( $d_{\text{ZnS}}^{\text{n}}/d_{\text{SiO}}^{\text{l}} = 1.9/2.3 = 570/690$ ) 全體 두께를 변화시켰다. 이들 試片을 표2에 수록했다.

## 3. 測 定

光源으로서는 Tungsten halogen燈을 利用하여 平行光을 만들고 측정장치에서  $100\text{ mw/cm}^2$  가 되도록 入射에너지를 조절했다. I-V特性曲線을 curve tracer에 依해서 그렸으며 이들 曲線에서  $I_{\text{sc}}$ ,  $V_{\text{oc}}$ , F.F. 와  $P_{\text{max}}$  을 求했다. 또한  $I_{\text{sc}}$  와  $V_{\text{oc}}$  를 각各 電流計와 電壓計로 직접 측정하여 曲線에서 얻은 값과 비교하였다.

## IV. 結果 및 考察

### 1. Al 薄膜

Al 박막에 依한 영향은 그 두께와 증착속도에 따라 검토할 必要가 있다. 먼저 그 두께 변화에 대한 I-V 特性곡선은 그림7과 같다. 그림에서 알 수 있는 바와

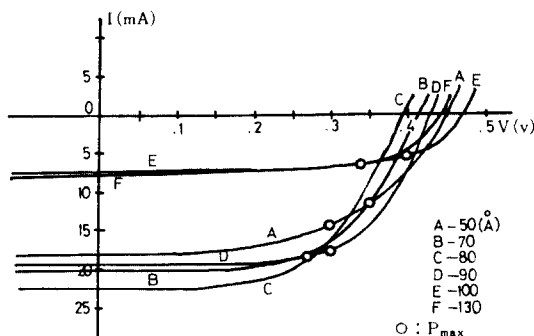


그림 7. Al-박막의 여러 가지 두께에 대한 I-V 특성  
Fig. 7. I-V characteristics of samples of different AL-film thickness.

같이  $80\text{ \AA}$ 인 두께일 때 最大의 出力임을 알 수 있고  $100\text{ \AA}$  이상의 두께일 때는  $I_{\text{sc}}$  가 급격히 감소하였다. 금속 박막의 두께 변화는 금속의 박막저항과 빛의 투과율을 변화시킨다. 빛의 투과율은 박막두께에 따라 연속적으로 감소하고<sup>10</sup> 박막저항의 변화는  $20\text{ \AA}$  미만의 박막두

께일때 電氣的으로 고립된 핵을 이루다가 그 이상으로 두껍게 되면 핵간의 電子이동으로 電氣傳導度가 증가하다가 더욱더 두껍게 되면 物理的으로 연속이 되어 電子의 平均自由行路(l)와 같은 두께에서 bulk metal의 성질을 갖게 한다.<sup>10</sup> 금속내에서 일반적으로 電子의 平均自由行路가 室溫에서  $100\text{ \AA}$  ~  $600\text{ \AA}$  이고<sup>11</sup> 이 실현에서는 박막두께가  $50\text{ \AA}$  ~  $130\text{ \AA}$  이었으므로  $d/l$ 은  $0.1$  ~  $1.3$  정도인 범위에 있다. 이것은 直列抵抗( $R_s$ )에 직접 영향을 주고  $R_s$ 는  $I_{\text{sc}}$ 에 영향을 준다. 또한 그림8에서는  $V_{\text{oc}}$ 와 F.F.에 대한 박막두께의 영향은 아주 작다. 또  $70\text{ \AA}$  까지는 박막저항의 감소가 빛의 투과율 감소보다 우세하여  $I_{\text{sc}}$ 는 증가하고  $90\text{ \AA}$  이상에서는 빛의 투과율 감소가 더 우세하여 급격한 감소가 일어난다. 따라서 Al박막의 最適 두께를  $80\text{ \AA}$  으로 결정하였고  $100\text{ \AA}$  이상이 되어서는 안된다고 볼 수 있다. 다음에는 그 두께를 같은  $80\text{ \AA}$  으로 할지라도 증착속도에 따라  $I_{\text{sc}}$  와

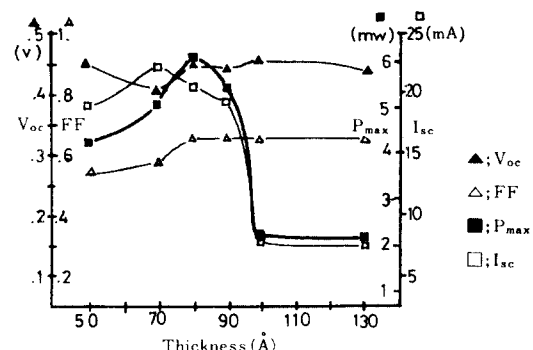


그림 8. Al-박막두께에 대한  $V_{\text{oc}}$ ,  $I_{\text{sc}}$  와  $P_{\text{max}}$   
Fig. 8.  $V_{\text{oc}}$ ,  $I_{\text{sc}}$ , FF &  $P_{\text{max}}$  vs. Al-film thickness.

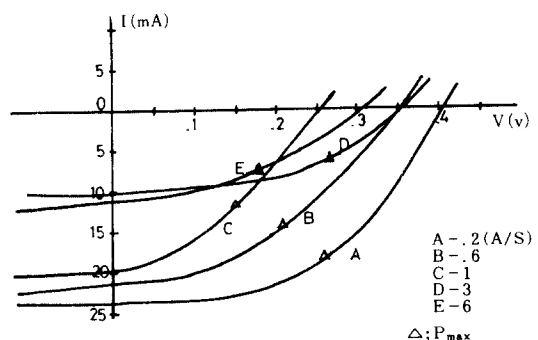


그림 9. AI 증착시 여러 경우의 증착속도로 제작한 시편의 I-V 특성 curve  
Fig. 9. I-V characteristics of samples of different AL-evaporation rates.

$V_{oc}$ 가 달라진다는 것을 그림 9에서 볼 수 있다. Al증착 속도가  $0.6\text{ \AA/sec}$  이하에서만  $I_{sc}$ 와  $V_{oc}$ 가 크다. 증착속도가 느리면 均一한 박막을 형성하며 증착과정에서 산화물이 형성되어 빛의 투과율은 증가하고 박막저항( $R_s$ )은 감소한다.<sup>[7]</sup> 그러나 그 구체적인 관계는 더研究할 필요가 있으나 本研究의 범위가 아니다. 여기서는 금속박막에 대한 기초조사만을 필요로 하며  $0.6\text{ \AA/sec}$  이상의 증착속도에서는  $I_{sc}$ 가 급격히 감소함을 알 수 있다.

## 2. AR Coating

### 1) 單層被膜

ZnS와 SiO로 單層被膜을 만들때 그 두께에 따르는  $I_{sc}$ 의 결과를 그림10에 표시했다. ZnS는  $570\text{ \AA}$ 에서, SiO는  $690\text{ \AA}$ 에서 각각 AR coating을 하지 않은 상태의  $I_{sc}$ 보다 80%와 71%씩 증가된 값을 보인다. 이것은理論에서  $n_i d_i = \lambda / 4$ 인 quarter-coating의 관계를 만족하고 있음을 알 수 있다. 理論에서는 일정한  $d$ 에 대해서  $\lambda$ 에 따르는 반사율을 보았는데 본 실험에서는 일정한  $\lambda$ 에 대해서  $d$ 에 따르는  $I_{sc}$ 를 보았다.  $I_{sc}$ 는 반사율의 逆合수이므로  $d$ 에 대한 반사율의 관계를 알 수 있다. 그러나 最適被膜두께인  $570\text{ \AA}$ (ZnS)과  $690\text{ \AA}$ (SiO)에서 각각 조금씩의 두께차이만 생겨도  $I_{sc}$ 가 크게 감소하므로 정밀한 두께 조절이 필요하다. 이것이 單層被膜에 대한 가장 큰 短點이다.

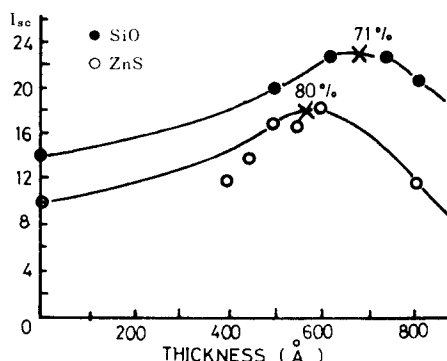


그림10. SiO와 ZnS를 사용한 단층 AR-coating의 두께에 대한 광전류

Fig. 10. Photocurrent vs. thickness of the single AR-coating for SiO & ZnS.

### 2) 二重層被膜

理論에서 첫째와 두번재 경우에 대한 결과를 그림11에 표시했다. 첫째 경우로 ZnS를 변화시키면서 그 위에 SiO를  $690\text{ \AA}$ 으로 했을 때와 둘째경우로 ZnS를

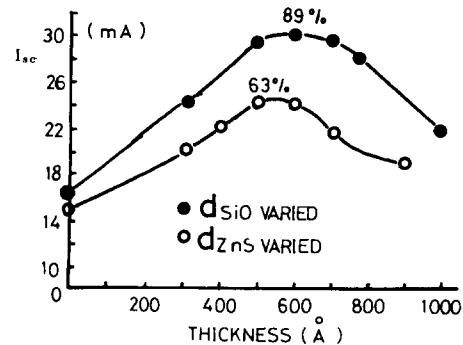


그림11. SiO와 ZnS를 사용한 이중층 AR-coating의 두께에 대한 광전류

Fig. 11. Photocurrent vs. thickness of the double AR-coating for SiO & ZnS.

$570\text{ \AA}$ 으로 고정시키고 그 위에 SiO를 변화시킬 때 각각 被膜하지 않았을 때의  $I_{sc}$ 에 대해서 63%와 89%만큼씩 증가했다. 이는 單層被膜때와 큰 차이는 없으나 最適被膜두께에서  $150\text{ \AA}$ 區間에 걸쳐  $I_{sc}$ 가 그 최대값의 7%미만으로 감소되므로 單層被膜때의 短點인 정밀한 두께 조절문제가 해소되었다. 세번재 경우로  $n_i d_i = n_2 d_2$ 인 관계를 유지하면서 전체 被膜두께에 대한  $I_{sc}$ 의 변화를  $X = d_{ZnS} / 570 = d_{SiO} / 690$ 에 대해서 그림12에 표시 했다.  $X = 1$ 일때는 被膜하지 않았을 때에 비해 77%만큼 증가한 反面에  $X = 0.7 \sim 0.9$ 일때는 98%까지 증가하였다. 실제로 AR coating 물질은 光吸收作用을 무시 할 수 없고 二重被膜인 경우는 더욱 그 전체의 두께가 크게 증가하여 光吸收効果가 크다고 보겠다. 따라서 quarter-quarter coating에서  $X = 1$ 인 경우가 最適의 두께가 되지 못하고 그 두께에서 각각 70~90%로 감소된 두께로 빛의 투과율을 증가시키면  $I_{sc}$ 가 被膜하지 않은 경우에 비해 98%만큼이나 증가했다.

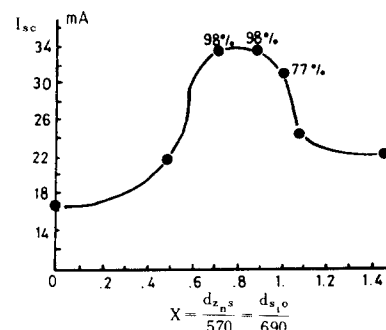


그림12. X에 대한 광전류

Fig. 12. Photocurrent vs. X.

이와 같이 높은  $I_{sc}$ 를 가지는 두께에 대한 区間이 매우 크므로 製造過程上 정밀한 두께 조절문제도 해결된다고 하겠다.

### V. 結論

MIS 太陽電池에서 금속(Al) 박막은  $0.6\text{ \AA/sec}$  미만의 증착속도로  $70\sim90\text{ \AA}$ 인 두께에서最大의  $I_{sc}$ 를 만든다. 金屬의 種類와 증착속도에 따라  $V_{oc}$ 도 관계될 것 이므로 더 구체적인 연구가 필요함을 알았다.

AR coating을 하여 MIS 太陽電池의 效率을 증가시키는 방법에서 單層被膜을 하면 정밀한 두께조절이 필요하므로 기술상의 어려운 점이 있다. 二重層被膜을 할 때도 한가지 種類의 被膜두께를 單層被膜에서의 最適두께로 고정시키고 다른 한 層의 두께를 조절하면 그 層 두께는 넓은 범위에 걸쳐 큰  $I_{sc}$ 값을 주어 정밀한 두께 조절문제가 해소 된다. 그러나 最適인 二重層被膜方法은  $n_1d_1=n_2d_2$ 인 관계를 유지하면서 單層被膜 때의 最適 두께에 比해서  $70\sim90\%$ 로 감소시키면 빛의 투과율이 증가하여  $I_{sc}$ 는 被膜하지 않았을 때에 比해서 98%만큼이나 증가하고 그러한  $I_{sc}$ 값은 넓은 두께 범위에 걸쳐 그대로 유지되므로 이것은 새로운 AR coating方法이라고 하겠다.

### 參考文獻

- [1] W.A. Anderson, A.E. Delahoy and R.A. Milano, *J. Appl. Phys.*, 45, 3913, 1974.
- [2] D.R. Lillington and W.G. Townsend,

*Appl. Phys. Lett.*, 28, 97, 1976.

- [3] D.L. Pulfrey, *IEEE Trans. ED.* vol.-ED-25, 1308, 1978.
- [4] R.B. Godfrey and M.A. Green, *IEEE Trans. ED.* vol.-ED-27, 737, 1980.
- [5] R.J. Stirn and Y.C.M. Yeh, *Appl. Phys. Lett.*, 27, 95, 1975.
- [6] E. Fabre, *Appl. Phys. Lett.*, 29, 607, 1976.
- [7] E.J. Charlson and J.C. Lien, *J. Appl. Phys.*, 46, 3982, 1975.
- [8] H.J. Hovel, "Semiconductors and Semimetals," vol. 11, Academic Press, 1975.
- [9] R.T. Oren, "Introduction to Modern Physics."
- [10] R.W. Berry, P.M. Hall and M.T. Harris, "Thin Film Technology," pp. 323, 1968.
- [11] G.Hass and R.E. Thun, "Physics of thin film," vol. 2, pp. 193, AP, 1964.
- [12] A.H.M. Kiperman and M.H. Omar, *Appl. Phys. Lett.*, 28, 620, 1976.
- [13] Yasuhiro Maeda, *Appl. Phys. Lett.*, 33, 301, 1978.
- [14] R.B. Godfrey and M.A. Green, *Appl. Phys. Lett.*, 33, 637, 1978.
- [15] R.B. Godfrey and M.A. Green, *Appl. Phys. Lett.*, 34, 790, 1979.
- [16] H.J. Hovel, *J. Appl. Phys.*, 47, 4968, 1976.